

20

И Н С Т И Т У Т  
ЯДЕРНОЙ ФИЗИКИ СОАН СССР

И Я Ф 65 - 71

Б.Н.Брейзман, Д.Д.Рютов, П.З.Чеботаев

НЕЛИНЕЙНЫЕ ЭФФЕКТЫ ПРИ ВЗАИМОДЕЙСТВИИ  
УЛЬТРАРЕЛЯТИВИСТСКОГО ЭЛЕКТРОННОГО  
ПУЧКА С ПЛАЗМОЙ

Новосибирск

1971

ИЕФ ИНСТИТУТ ЯДЕРНОЙ ФИЗИКИ СО АН СССР  
УЛЬТРАРЕЛЯТИВИСТСКОГО ЭЛЕКТРОННОГО ПУЧКА  
С ПЛАЗМОЙ

Б.Н.Брейзман, Д.Д.Рютов, П.З.Чеботаев

1. Введение

Одна из способов нагрева плазмы до термодинамических температур состоит в перенале ее энергией, передаваемой в ионизированную среду рентгеновскими электронами. Для оценки эффективности такого метода нагрева необходимы модели — сплошной пучка с плавкой вспомогательной кинематикой и сплошной струи пучка с плавкой вспомогательной кинематикой.

**НЕЛИНЕЙНЫЕ ЭФФЕКТЫ ПРИ ВЗАИМОДЕЙСТВИИ УЛЬТРАРЕЛЯТИВИСТСКОГО ЭЛЕКТРОННОГО ПУЧКА С ПЛАЗМОЙ**

В работе [1] предложен метод оценки основных временных зависимостей, т.е. времени, в течение которого пучок может излучать не две части.

Вот первых, решите задачу о разложении пучка в линии с фиксированными во времени параметрами и найти время, которое пучок теряет на движение плюс своего пути в плюсе.

Вот вторых, на основе полученных результатов исследовать возможное состояние плазмы при пучковом нагреве и выяснить, как складывается это изменение по характеру релаксации.

Первый путь — задачи в рамках квазиволнового приближения решены в работе [1—4], как для однородной, так и для неоднородной плазмы. Однако во многих практических интересных случаях критерий применимости квазиволнового приближения не выполняется [3, 4], и поэтому свободный путь с квазиволновым приближением ведет к искажению решений.

Как было показано в работе [6], процесс колебаний трансформации спектра колебаний, возбуждаемых пучком, могут приводить к отображению пучковой вспомогательности. При этом энергия колебаний, взаимодействующих с пучком и плазмой, изменяется во ступенчату "замороженной" и весьма низком уровне, и плавно торможение пучка

Новосибирск

1971

# НЕЛИНЕЙНЫЕ ЭФФЕКТЫ ПРИ ВЗАИМОДЕЙСТВИИ УЛЬТРАРЕЛЯТИВИСТСКОГО ЭЛЕКТРОННОГО ПУЧКА С ПЛАЗМОЙ

Б.Н.Брейзман, Д.Д.Рютов, П.З.Чеботаев

## 1. Введение

Один из способов нагрева плазмы до термоядерных температур состоит в передаче ей энергии, запасенной в мощном пучке релятивистских электронов. Для оценки перспектив такого метода нагрева необходимо исследовать коллективные механизмы взаимодействия пучка с плазмой, поскольку торможение пучка за счет парных столкновений обычно крайне неэффективно. Принимая во внимание, что характерное время изменения параметров плазмы под воздействием пучка в реальных условиях намного больше времени развития пучковой неустойчивости, теоретическое описание процесса нагрева можно разделить на две части.

Во-первых, решить задачу о релаксации пучка в плазме с фиксированными во времени параметрами и найти энергию, которую пучок теряет на единице длины своего пути в плазме.

Во-вторых, на основе полученных результатов исследовать изменение состояния плазмы при пучковом нагреве и выяснить, как оказывается это изменение на характере релаксации.

Первая часть задачи в рамках квазилинейного приближения решена в работах /1-4/ как для однородной, так и для неоднородной плазмы. Однако во многих практически интересных случаях критерий применимости квазилинейного приближения не выполняется /3,5/, и поэтому особый интерес приобретает исследование нелинейного режима релаксации.

Как было показано в работе /6/, процессы нелинейной трансформации спектра колебаний, возбуждаемых пучком, могут приводить к стабилизации пучковой неустойчивости. При этом энергия колебаний, взаимодействующих с электронами пучка, оказывается по существу "замороженной" на весьма низком уровне, и длина торможения пучка

возрастает по сравнению с квазилинейной.

Применимельно к задаче о нагреве ультрачелтистским пучком плотной плазменной мишени роль нелинейных эффектов исследовалась в работе /3/. В качестве механизма нелинейной стабилизации неустойчивости здесь рассматривалось индуцированное рассеяние колебаний на частицах плазмы. Модель релаксации, построенная в /3/, основана на предположении, что длинноволновые ленгмюровские колебания ( $K < \omega_p / c$ ;  $K$  - волновое число  $\omega_p$  - плазменная частота,  $c$  - скорость света), не взаимодействующие с пучком, практически полностью подавляют неустойчивость в "резонансной" ( $K \geq \omega_p / c$ ) области благодаря индуцированному рассеянию "резонансных" колебаний на электронах плазмы. Остаточная неустойчивость лишь компенсирует стокновительное затухание "нерезонансных" колебаний. Роль рассеяния колебаний на ионах в такой модели фактически не учитывалась, хотя рассеяние на ионах приводит к гораздо более быстрой перекачке колебаний в длинноволновую область, чем рассеяние на электронах.

Как будет показано в настоящей работе, рассеяние на ионах существенно изменяет динамику релаксации по сравнению с моделью /3/. В частности, релаксация перестает быть квазидномерной, а длина торможения пучка значительно увеличивается.

Исследование нелинейного режима релаксации в плазме с фиксированными параметрами составляет содержание раздела 2. Задача об изменении параметров плазмы под воздействием пучка рассматривается в разделах 3,4. Здесь показано, что при определенных условиях процесс нагрева плотной плазменной мишени представляет собой распространение в плазму волны, на фронте которой энергия пучка переходит в тепло. Это явление названо в работе волной релаксации.

## 2. Нелинейный режим релаксации

Пусть в полупространство  $Z > 0$ , заполненное однородной плазмой, инжектируется моноэнергетический ультрачелтистский ( $E \gg mc^2$ ) электронный пучок, функция распределения которого на входе в плазму имеет вид:

$$f = \frac{n_0 g_0(\theta)}{2\pi P_0^2} \delta(P - P_0) \quad (1)$$

где  $n_0$  - концентрация пучка,  $P_0$  - импульс электронов, а  $g_0(\theta)$  угловое распределение частиц. Мы будем предполагать, что угловой разброс пучка  $\Delta\theta$  не слишком мал

$$1 \gg \Delta\theta \gg \frac{mc^2}{E} \quad (2)$$

Тогда можно пренебречь отличием модуля скорости частиц пучка от  $C$  и положить  $\vec{v} = \vec{P}/P$ .

Если, кроме того,

$$\Delta\theta \gg \max \left\{ \left( \frac{n_0}{n} \frac{mc^2}{E} \right)^{1/4}; \left( \frac{n_0}{n} \right)^{1/6} \left( \frac{mc^2}{E} \right)^{1/2} \right\} \quad (3)$$

( $n$  - концентрация плазмы), то неустойчивость можно считать кинетической.

В рамках квазилинейного приближения квазистационарное состояние системы плазма - пучок устанавливается за счет того, что возбуждение ленгмюровских колебаний на масштабе релаксации компенсируется их сносом в глубь плазмы. Вместе с тем при пучковой неустойчивости возможен и другой механизм установления квазистационарного состояния: генерация ленгмюровских колебаний в той области  $K$  - пространства, где они находятся в резонансе с пучком, т.е. при

$$|K_{||} - \frac{\omega_p}{c}| \leq \frac{\omega_p}{c} \Delta\theta^2 + K_{\perp} \Delta\theta \quad (4)$$

( $K_{||}$  и  $K_{\perp}$ , соответственно, продольная и поперечная по отношению к оси пучка составляющие волнового вектора) может компенсироваться их перекачкой в "нерезонансную" часть спектра за счет нелинейных процессов. Для этого должно быть выполнено соотношение:

$$\gamma_{NL} \gtrsim \gamma$$

где  $\gamma_{NL}$  - обратное время спектральной перекачки, а  $\gamma$  - инкремент неустойчивости.

При исследовании такого (нелинейного) режима релаксации мы ограничимся для определенности случаем почти изотермической плазмы ( $T_i \sim T_e$ ). Тогда, как показывают простые оценки, основным механизмом нелинейного взаимодействия является рассеяние ленгмюровских колебаний на ионах плазмы. Возбуждение колебаний пучком и эволюция их спектра за счет <sup>\*)</sup> индуцированного рассеяния описываются следующим уравнением:

$$\frac{\partial W}{\partial t} = \lambda (\gamma + \gamma_i) W \quad (5)$$

где  $W(\vec{r}, z, t)$  —спектральная плотность энергии колебаний, а  $\gamma_i$  —частота рассеяния, причем согласно /7/

$$\gamma_i = \frac{3\sqrt{2\pi}}{16} \frac{T_e/T_i}{(1+T_e/T_i)^2} \times \quad (6)$$

$$x \int d^3 K' \frac{W(\vec{K}')}{nmv_{T_i}} \frac{(\vec{K}\vec{K}')^2}{K^2 K'^2} \frac{K'^2 - K^2}{|K - K'|} \exp\left(-\frac{1}{2}\left(\frac{3}{2} \frac{v_{Te}^2}{\omega_p v_{T_i}} \frac{K'^2 - K^2}{|K - K'|}\right)^2\right)$$

Процесс рассеяния обусловлен черенковским взаимодействием ионов плазмы с биениями, каждое из которых образовано двумя ленгмюровскими колебаниями ( $\omega, \vec{K}, \omega', \vec{K}'$ ). Для того, чтобы в рассеянии участвовала заметная часть ионов, фазовая скорость биений должна быть меньше ионной тепловой скорости  $v_{T_i}$ :

$$\omega - \omega'/|K - K'| \lesssim v_{T_i} \quad (7)$$

Если теперь учесть, что характерное значение волнового вектора колебаний, генерируемых пучком, равно  $\omega_p/c$ , то с помощью формулы (7) можно оценить уменьшение частоты  $\Delta\omega \equiv \omega - \omega'$  и модуля волнового вектора  $\Delta K \equiv K - K'$  в одном акте рассеяния

<sup>\*)</sup> Мы пренебрегаем сносом колебаний, т.к. их групповая скорость очень мала.

$$\Delta\omega \sim \omega_p \frac{v_{T_i}}{c} \quad (8)$$

$$\Delta K \sim \omega_p \frac{v_{T_i}}{v_{Te}^2} \quad (9)$$

В горячей плазме ( $T_e > (m/M)^{1/2} (T_i m c^2)^{1/2}$ ) отношение  $\frac{\Delta K}{K}$  оказывается малым:

$$\frac{\Delta K}{K} \ll 1$$

Поэтому в результате рассеяния происходит в первую очередь изотропизация спектра колебаний. Кроме того, осуществляется перекачка колебаний в область малых  $K$  ( $\omega_p/K > c$ ), где они переходят взаимодействовать с пучком (см.рис.1). Хотя этот механизм и ограничивает уровень энергии "резонансных" ( $\omega_p/K < c$ ) колебаний, он не обязательно приводит к установлению стационарного спектра шумов. Действительно, стационарный спектр должен удовлетворять уравнению:

$$W(\gamma_i + \gamma) = 0$$

Это интегральное уравнение первого рода, вообще говоря, не имеет регулярных решений. Таким образом, спектральная перекачка может компенсировать генерацию колебаний лишь в среднем, а спектр колебаний должен быть, вообще говоря, пульсирующим. Чтобы найти усредненную по времени зависимость  $W(K)$  мы воспользуемся следующим рассуждением.

Выделим в  $\vec{K}$ -пространстве сферический слой

$$K_0 - \Delta K < K < K_0 + \Delta K$$

Поскольку в одном акте рассеяния изменение волнового вектора равно  $\Delta K$ , колебания, находящиеся внутри слоя, взаимодействуют главным образом друг с другом, и гораздо слабее — со всеми остальными. Далее заметим, что если величина  $W(K_0)$  достаточ-

но мала, так что  $\gamma_i(k_0) < \gamma(k_0)$ , то плотность энергии колебаний внутри слоя будет увеличиваться за счет пучковой неустойчивости. С другой стороны, если  $\gamma_i(k_0) > \gamma(k_0)$ , то  $W(k_0)$  уменьшается за счет перекачки энергии колебаний в длинноволновую область. Поэтому даже в отсутствие истинно стационарного решения в среднем по времени при каждом  $k_0$  должно быть выполнено условие:

$$\overline{\gamma W + \gamma_i W} = 0 \quad (10)$$

(чтобы означает усреднение по времени).

Формального решения уравнения (10) найти не удается, но можно провести простые оценки, позволяющие найти форму усредненной функции  $W$ .

В отсутствие истинно стационарного решения оценка  $\gamma_i$  существенно зависит от соотношения между  $\Delta K$  и шириной области неустойчивости по  $K$ , которую мы будем обозначать через  $\delta K$ :

$$\gamma_i \sim \omega_p \frac{W}{n T_i} \left(1 + \frac{T_e}{T_i}\right)^2 K^2 \begin{cases} \Delta K, & \Delta K > \delta K, \\ \frac{\Delta K^2}{\delta K}, & \Delta K < \delta K. \end{cases} \quad (11)$$

Величина  $\delta K$  в свою очередь задается следующей формулой

$$\delta K = \begin{cases} \frac{K \Delta \theta c}{\omega_p}, & \frac{\omega_p}{c} < K < \frac{\omega_p}{c \Delta \theta}, \\ K, & K > \frac{\omega_p}{c \Delta \theta}. \end{cases} \quad (12)$$

Воспользовавшись оценкой инкремента пучковой неустойчивости

$$\gamma \sim \omega_p \frac{n_e}{n} \frac{mc^2}{E} \frac{\omega_p^2}{K^2 c^2} \frac{1}{\Delta \theta^2}$$

и соотношением (10) найдем отсюда  $W(k)$ <sup>\*</sup>:

$$W \sim \frac{1}{\Delta \theta^2 \cdot \Delta K \cdot K^2}, \quad \frac{\omega_p}{c} < K < \left(\frac{\omega_p \Delta K}{c \Delta \theta}\right)^{1/2} \quad (13)$$

$$W \sim \frac{n_e}{n} \frac{mc^2}{E} \left(1 + \frac{T_e}{T_i}\right)^2 n T_i \frac{\omega_p^2}{K^2 c^2} \begin{cases} \frac{c}{\Delta \theta \cdot \Delta K \cdot \omega_p}, & \left(\frac{\omega_p \Delta K}{c \Delta \theta}\right)^{1/2} < K < \frac{\omega_p}{c \Delta \theta} \\ \frac{1}{\Delta \theta^2 \cdot \Delta K^2}, & K > \frac{\omega_p}{c \Delta \theta} \end{cases}$$

при  $\Delta \theta < \frac{\Delta K c}{\omega_p}$  и

$$W \sim \frac{1}{\Delta \theta \cdot \Delta K \cdot \omega_p}, \quad \left(\frac{\Delta K \cdot \omega_p}{\Delta \theta \cdot c}\right)^{1/2} < K < \frac{\omega_p}{c \Delta \theta} \quad (14)$$

$$W \sim \frac{n_e}{n} \frac{mc^2}{E} \left(1 + \frac{T_e}{T_i}\right)^2 n T_i \frac{\omega_p^2}{K^2 c^2} \begin{cases} \frac{1}{\Delta \theta^2 \cdot \Delta K^2}, & K > \frac{\omega_p}{c \Delta \theta} \end{cases}$$

при  $\Delta \theta > \frac{\Delta K c}{\omega_p}$

\* ) При вычислении плотности энергии колебаний  $U = 4\pi \int_0^\infty W(k) k^2 dk$  с помощью формул (13) и (14) получается интеграл, логарифмически расходящийся при больших  $K$ . Обрезание этого интеграла на верхнем пределе происходит за счет того, что при больших  $K$  инкремент пучковой неустойчивости очень мал, и неустойчивость может подавляться слабыми диссипативными процессами - кулоновскими столкновениями, выносом колебаний из области релаксации и т.д.

В области  $\kappa < \omega_p/c$  зависимость  $W(\kappa)$  определяется из условия постоянства потока энергии по спектру:

$$W \sim \frac{n_e}{n} \frac{mc^2}{E} n T_i \left(1 + \frac{T_e}{T_i}\right)^2 \begin{cases} \frac{1}{\kappa^2 \Delta \kappa \Delta \theta^2}, & \Delta \theta < \frac{\Delta \kappa c}{\omega_p}, \\ \frac{\omega_p}{c \kappa^2 \Delta \kappa^2 \Delta \theta}, & \Delta \theta > \frac{\Delta \kappa c}{\omega_p}. \end{cases} \quad (15)$$

Такой вид спектра означает, что в области малых  $\kappa$  будет происходить накопление ленгмюровских колебаний. Вопрос об их диссипации рассматривается ниже.

Найдем теперь пространственную зависимость углового разброса пучка  $\Delta\theta(z)$  и средней энергии электронов  $E(z)$ . Это можно сделать с помощью квазилинейного уравнения:

$$\begin{aligned} c \cos \theta \frac{\partial f}{\partial z} = & \frac{1}{P^2} \frac{\partial}{\partial P} P^2 \left( D_{PP} \frac{\partial f}{\partial P} + \frac{D_{P\theta}}{P} \frac{\partial f}{\partial \theta} \right) + \\ & + \frac{1}{P \sin \theta} \frac{\partial}{\partial \theta} \sin \theta \left( D_{P\theta} \frac{\partial f}{\partial P} + \frac{D_{\theta\theta}}{P} \frac{\partial f}{\partial \theta} \right). \end{aligned} \quad (16)$$

Зная спектр колебаний, взаимодействующих с пучком, нетрудно оценить компоненты тензора диффузии (см. /4/):

$$\begin{aligned} D_{PP} \sim D_{P\theta} \sim D_{\theta\theta} \sim \omega_p \frac{n_e}{n} \left(\frac{E}{c}\right)^2 \left(\frac{mc^2}{E}\right)^3 \times \left(1 + \frac{T_e}{T_i}\right)^2 \times \\ \times \begin{cases} \left(\frac{M}{m}\right)^{1/2} \left(\frac{T_i}{T_e}\right)^{1/2} \left(\frac{T_e}{mc^2}\right)^{3/2} \frac{1}{\Delta \theta^2}, & \Delta \theta < \frac{\Delta \kappa c}{\omega_p}, \\ \frac{M}{m} \left(\frac{T_e}{mc^2}\right)^2 \frac{1}{\Delta \theta}, & \Delta \theta > \frac{\Delta \kappa c}{\omega_p}. \end{cases} \end{aligned} \quad (17)$$

По смыслу величины  $D_{\theta\theta}$

$$\left(\frac{c}{E}\right)^2 D_{\theta\theta} \sim c \frac{d}{dz} \Delta \theta^2(z)$$

Отсюда:

$$\Delta \theta(z) \sim \begin{cases} \left(\Delta \theta_0^4 + \frac{z V_{T_i} C}{l V_{T_e}^2}\right)^{1/4}, & 0 < z < l \left(\frac{V_{T_i} C}{V_{T_e}^2}\right)^3 \\ \left(\frac{z}{l}\right)^{1/3}, & l \left(\frac{V_{T_i} C}{V_{T_e}^2}\right)^3 < z < l \end{cases} \quad (18)$$

где

$$l = \frac{c}{\omega_p} \frac{n}{n_e} \frac{m}{M} \left(\frac{E}{mc^2}\right)^3 \left(\frac{mc^2}{E}\right) \left(1 + \frac{T_e}{T_i}\right)^{-2} \quad (19)$$

а  $\Delta \theta_0$  — угловой разброс пучка на входе в плазму. Поскольку все элементы тензора диффузии  $D_{\alpha\beta}$  при изотропном спектре по порядку величины одинаковы, относительное изменение энергии электронов пучка в процессе релаксации оказывается примерно равным изменению углового разброса

$$\frac{\Delta E}{E_0} \sim \begin{cases} \left(\Delta \theta_0^4 + \frac{z V_{T_i} C}{l V_{T_e}^2}\right)^{1/4} - \Delta \theta_0, & 0 < z < l \left(\frac{V_{T_i} C}{V_{T_e}^2}\right)^3 \\ \left(\frac{z}{l}\right)^{1/3}, & l \left(\frac{V_{T_i} C}{V_{T_e}^2}\right)^3 < z < l \end{cases} \quad (20)$$

Как видно из приведенных оценок, величина  $l$  представляет собой длину торможения пучка в мишени. На расстоянии  $l$  от границы плазмы пучок теряет энергию порядка  $E_0$ , а его угловой раз-

брос достигает значения  $\Delta\theta \sim 1$ .

Примечательно, что мощность энерговыделения

$$Q = -\frac{d}{dz} n_e E(z) c$$

имеет резкий максимум вблизи от границы плазмы

$$Q_{\max} \sim \frac{n_e E_0 c^2 V_{T_i}}{\ell V_{T_e}^2 \Delta\theta_0^3}$$

В тонком слое  $0 < z < \ell \frac{V_{T_e}^2}{V_{T_i} c} \Delta\theta_0^4$  величина  $Q$  в  $\frac{V_{T_i} c}{V_{T_e}} \Delta\theta_0^{-3}$  раз больше, чем в остальном объеме, хотя пучок выделяет здесь сравнительно немного энергии

$$\frac{\Delta E}{E_0} \sim \Delta\theta_0.$$

Почти всю свою энергию пучок выделяет на промежутке  $\ell \left( \frac{V_{T_i} c}{V_{T_e}^2} \right)^{3/2} < z < \ell$ , но величина  $Q$  здесь относительно мала:

$$Q \sim Q_{\max} \Delta\theta_0^3 \frac{V_{T_e}^2}{V_{T_i} c} \ll Q_{\max}$$

В построенной схеме релаксации энергия, потеряная пучком, перекачивается в длинноволновую часть спектра. Мы укажем ниже некоторые из механизмов, ограничивающих уровень длинноволновых колебаний. Вопрос о том, какой из них является основным, должен решаться с учетом условий конкретного эксперимента. Подчеркнем однако, что если отвод энергии из длинноволновой части спектра достаточно эффективен, то результаты, относящиеся к релаксации пучка, не зависят от механизма гибели длинноволновых колебаний. Слова "достаточно эффективен" означают, что характерное время гибели ленгмюровских колебаний не превышает времени их перекачки из области  $K > \omega_p/c$  в область  $K \ll \omega_p/c$  за счет рассеяния на ионах (время перекачки по порядку величины рав-

но  $\omega_p^{-1} (nT/U)(k/ak)^2$ , где  $U$  — плотность энергии коротковолновых ( $K > \omega_p/c$ ) колебаний<sup>x)</sup>.

Поглощение длинноволновых колебаний может быть обусловлено, в частности, парными столкновениями (если  $v > \omega_p(U/nT)(ak/k^2)$ )

Имеется и другая возможность — трансформация ленгмюровских колебаний в электромагнитные волны при слиянии ленгмюровских колебаний с  $K < \omega_p/c$  и колебаний с  $K > \omega_p/c$ . Электромагнитное излучение имеет при этом частоту  $\sim 2\omega_p$ . Оценка скорости этого процесса (выражение для вероятности содержится, например в /7/) показывает, что он может препятствовать накоплению колебаний в длинноволновой области при условии

$$\frac{T_e}{mc^2} \left( 1 + \frac{T_e}{T_i} \right) > \left( \frac{m}{M} \right)^{1/2}$$

Электромагнитные волны могут либо покидать плазму, либо (в случае плотной плазмы) поглощаться за счет парных столкновений.

Если же отвод энергии из длинноволновой ( $K < \omega_p/c$ ) области недостаточно эффективен, то спектральная перекачка при рассеянии ленгмюровских колебаний на ионах вызывает накопление этих колебаний в области  $K \leq \Delta K$ , где возникает очень большая концентрация энергии. Одним из механизмов, ограничивающих этот эффект, может служить раскачка звука, рассмотренная в работе /8/. Подробное исследование устойчивости спектра длинноволновой ленгмюровской турбулентности содержится в более поздней работе /9/. Не исключено, что раскачка звука быстро перейдет в режим

x) Заметим, что в тех случаях, когда время эксперимента меньше, чем характерное время перекачки, вопроса о накоплении колебаний в длинноволновой части спектра вообще не возникает.

сильной турбулентности /10/. В этом случае, как показано в работе /10/, в плазме могут образовываться локальные возмущения концентрации (каверны), в которых "заперты" ленгмюровские колебания. Каверны за конечное время схлопываются, а энергия колебаний передается электронам и ионам плазмы.

Отметим, что возбуждение низкочастотных колебаний может сильно исказить картину релаксации пучка, поскольку звуковая волна модулирует концентрацию плазмы и вызывает тем самым диффузию ленгмюровских колебаний по спектру.

В заключение этого раздела укажем условие применимости изложенного описания релаксации. Формулы (18)-(20), были получены нами в предположении, что коллективные процессы, ответственные за релаксацию пучка, можно рассматривать в рамках теории слабой турбулентности. Для этого необходимо, чтобы частота биений  $\Delta\omega \sim \omega_p \gamma_i/c$  превышала частоту рассеяния колебаний на ионах

$$\omega_p v_{T_i} / c > \gamma_i$$

Воспользовавшись выражением для  $\gamma_i$  (см.(11)-(14) этот критерий можно записать как ограничение на параметры пучка и плазмы:

$$\frac{n_0}{n} \frac{mc^2}{E} \frac{1}{\Delta\theta^2} < \frac{v_{T_i}}{c} \quad (21)$$

Если же неравенство (21) не выполнено, то наряду с рассеянием становятся существенными нелинейные процессы высших порядков, и исследование релаксации значительно усложняется.

### 3. Волна релаксации (постановка задачи и качественное рассмотрение)

При исследовании релаксации электронного пучка мы предполагали, что параметры плазмы (профиль концентрации, температура) фиксированы. Если пучок используется для нагрева плазмы, то этим приближением можно ограничиться лишь в течение достаточно мало-

го промежутка времени, пока параметры плазмы не успевают существенно измениться под воздействием пучка. Для описания всего процесса нагрева необходимо решить самосогласованную задачу о релаксации пучка и движении прогреваемой им плазмы.

Такая задача рассматривается ниже.

Мы ограничимся исследованием нагрева плотной плазменной мишени, в которой электроны и ионы быстро обмениваются энергией друг с другом благодаря кулоновским столкновениям ( $T_i = T_e = T$ ).

Кроме того, будем иметь в виду, что нагрев происходит в квазистационарном режиме: т.е. характерное время установления стационарного решения в задаче о релаксации пучка намного меньше, чем время изменения параметров плазмы<sup>x)</sup>.

При сделанных предположениях движение плазмы можно описывать следующей системой уравнений газодинамики:

$$\frac{\partial \vec{v}}{\partial t} + (\vec{v} \vec{\nabla}) \vec{v} = - \frac{1}{Mn} \vec{\nabla} n T \quad (22)$$

$$\frac{\partial n}{\partial t} + \operatorname{div} n \vec{v} = 0 \quad (23)$$

$$n M T \left( \frac{\partial s}{\partial t} + \vec{v} \operatorname{grad} s \right) = \operatorname{div} \vec{x} \operatorname{grad} T + Q \quad (24)$$

Здесь  $s$  — энергия единицы массы плазмы,  $Q$  — энергия, выделяемая пучком в единице объема в единицу времени; остальные обозначения общепринятые<sup>xx)</sup>.

С помощью системы уравнений (22)-(24) будет исследовано поведение плазмы, занимающей полупространство  $\vec{x} > 0$ , в которое инжектируется аксиально симметричный электронный пучок радиуса  $R$ . В начальный момент плазма считается неподвижной, а её концентрация  $n$  и температура  $T$  однородными и равными, соответственно,  $n_0$  и  $T_0$ .

x) Так, в частности, должно обстоять дело в опытах, предложенных в работе /11/.

xx) Вообще говоря, следует включить в уравнение (22) импульс, вносимый пучком в плазму, но, как показывают оценки, эта величина пренебрежимо мала.

Динамика нагрева плазмы пучком определяется свойствами источника тепла  $Q$ , входящего в уравнение (24). Обозначив через  $\ell$  длину торможения пучка в однородной плазме, характерное значение  $Q$  можно оценить по формуле<sup>x)</sup>.

$$Q \sim \frac{n_0 E c}{\ell} \quad (25)$$

Напомним теперь, что релаксация пучка в неоднородной плазме гораздо менее эффективна, чем в однородной /2, 4/. Между тем неоднородность концентрации (даже если вначале она отсутствует) обязательно возникает в процессе нагрева. Как показано в работе /2/, релаксация полностью срывается, если градиент концентрации плазмы в направлении инжекции пучка превышает некоторое критическое значение, которое мы обозначим здесь  $(\frac{\partial n}{\partial z})_{\text{max}}$ . Отсюда можно оценить тот перепад концентрации на масштабе  $\ell$ , при котором неоднородность "выключает" нагрев:

$$\left(\frac{\Delta n}{n}\right)_{\text{max}} \sim \frac{\ell}{n} \left(\frac{\partial n}{\partial z}\right)_{\text{max}} \quad (26)$$

Особенно рельефно роль неоднородности должна проявляться, если

$$\left(\frac{\Delta n}{n}\right)_{\text{max}} \ll 1 \quad (27)$$

В дальнейшем это неравенство считается выполненным.

Рассмотрим сначала случай, когда теплопроводность плазмы мала, а нагрев производится широким ( $R \gg \ell$ ) пучком. Затем можно будет легко понять, как повлияют на результат теплопроводность плазмы и радиальная ограниченность пучка.

При сделанных предположениях динамика нагрева описывается линеаризованной (по малому параметру  $(\Delta n / n)_{\text{max}}$ ) системой уравнений (22)-(24), где все величины зависят только от  $z$  и  $t$ :

$$\frac{\partial v_z}{\partial t} = - \frac{1}{M} \frac{\partial T}{\partial z} \quad (28)$$

<sup>x)</sup> В зависимости от конкретных условий  $\ell$  задается различными соотношениями. Так, например, в случае нелинейного режима релаксации (см. раздел 2) справедлива формула (18).

$$\frac{\partial n}{\partial t} + n_0 \frac{\partial v_z}{\partial z} = 0 \quad (29)$$

$$n_0 M c_v \frac{\partial T}{\partial t} = Q \quad (30)$$

( $C_v$  — теплоемкость единицы массы плазмы при постоянном объеме).

Для точного решения этой системы потребовалось бы знать точный вид функции  $Q$ . Мы же располагаем лишь "грубыми" её характеристиками, которых, однако, достаточно, чтобы построить качественное описание процесса. Физическая картина нагрева оказывается следующей.

Пучок, который включается в момент  $t=0$ , начинает греть плазму внутри слоя  $0 < z < \ell$ . Из-за неравномерности тепловыделения температура плазмы в слое становится неоднородной. Характерную величину градиента температуры легко оценить с помощью уравнения (30):

$$\left| \frac{\partial T}{\partial z} \right| \sim \frac{t Q}{n_0 M c_v \ell} \sim \frac{n_0 E c}{n_0 M c_v \ell^2} t$$

Под действием градиента давления ( $\frac{\partial P}{\partial z} = n_0 \frac{\partial T}{\partial z}$ ) плазма приходит в движение, и концентрация её также делается неоднородной:

$$\left| \frac{\partial n}{\partial z} \right| \sim \frac{n_0 E c}{M^2 c_v \ell^4} t^3$$

По истечении времени

$$t \sim t_0 = \left( \frac{M^2 c_v}{n_0 E c} \right)^{1/3} \ell^{4/3} \left[ \left( \frac{\partial n}{\partial z} \right)_{\text{max}} \right]^{1/3}$$

перепад концентрации внутри слоя достигает величины  $(\frac{\Delta n}{n})_{\max}$ . Тогда эффективность нагрева в слое падает фактически до нуля, и начинает интенсивно греться следующий участок плазмы

$$l < z < 2l$$

На этом промежутке также появляется неоднородность концентрации, и область, где мощность нагрева максимальна, продвигается еще дальше в первоначально однородную плазму.

Мы назовем такое явление волной релаксации. За фронтом волны неоднородность концентрации плазмы практически полностью срывает релаксацию пучка. Поэтому тепловыделение здесь отсутствует, и температура плазмы  $T$  постоянна (ом. (30))

$$T = T_0 + Mc^2 \left( \frac{n_e E}{n_0 M c^2 M_{cv}} \right)^{2/3} \left[ \frac{l}{n_0} \left( \frac{\Delta n}{\Delta z} \right)_{\max} \right]^{1/3} \quad (31)$$

$T_0$  — начальная температура плазмы.

Поскольку длина релаксации  $l$  обычно зависит от температуры плазмы, соотношение (31) определяет температуру за волной в неявном виде. Как видно из формулы (31), в зависимости от параметров пучка и плазмы волна может быть сильной ( $T >> T_0$ ) или слабой ( $T - T_0 \ll T_0$ ). Температура за фронтом сильной волны определяется уравнением:

$$T = Mc^2 \left( \frac{n_e E}{n_0 M c^2 M_{cv}} \right)^{2/3} \left[ \frac{l(T)}{n_0} \left( \frac{\Delta n}{\Delta z} \right)_{\max} \right]^{1/3} \quad (32)$$

В слабой волне

$$\frac{T - T_0}{T_0} = \frac{Mc^2}{T_0} \left( \frac{n_e E}{n_0 M c^2 M_{cv}} \right)^{2/3} \left[ \frac{l(T_0)}{n_0} \left( \frac{\Delta n}{\Delta z} \right)_{\max} \right]^{1/3} \ll 1 \quad (33)$$

Найдем далее скорость распространения волны  $U$ . Для этого заметим, что за время  $t \sim t_0$  волна проходит расстояние  $z \sim l$ . Удобно выразить скорость волны через скорость звука за её фронтом:

$$U = c_s \left( \frac{T - T_0}{T} \right)^{1/2} \left[ \frac{l(T)}{n_0} \left( \frac{\Delta n}{\Delta z} \right)_{\max} \right]^{-1/2} \quad (34)$$

Отсюда видно, что скорость распространения как сильной, так и слабой волны в рассматриваемых условиях значительно превышает скорость звука. Действительно, линеаризуя уравнение (22), мы полагали  $\Delta n/n \ll \Delta T/T$ , но отношение  $U/c_s$  по порядку величины равно  $\frac{k \Delta T}{T \Delta n}$  (см. (34)), т.е.  $U/c_s \gg 1$ .

Рассмотрим теперь влияние теплопроводности плазмы на характер распространения волны. За счет теплопроводности энергия, выделяемая пучком на входе в плазму, проиникает вглубь по закону:

$$z \sim (\frac{x t}{n_0})^{1/2}$$

Если выравнивание температуры происходит достаточно быстро, то внутри слоя  $0 < z < l$  профиль температуры, а следовательно и профиль концентрации будет все время оставаться однородным. Описанная волна в этом случае очевидно не сможет возникнуть, и механизмом распространения тепла в глубь плазмы будет служить обычная теплопроводность.

Другими словами, для возникновения волны необходимо, чтобы теплопроводность плазмы была достаточно мала:

$$x \ll n_0 l^2 / t_0$$

тогда теплопроводность будет лишь несколько сглаживать профиль температуры за волной, не меняя качественно характера её распространения.

В заключение этого раздела отметим, что волна релаксации может существовать и в том случае, когда радиус пучка мал по сравнению с  $l$  ( $R \ll l$ ). Вся картина явления при этом сохраняется, с той лишь разницей, что продольная неоднородность концентрации возникает за счет радиального движения плазмы. Мы ограничимся поэтому только тем, что приведем оценки скорости распространения сильной волны и температуры, до которой нагрета плазма за её фронтом:

$$U = \left( \frac{T}{M} \right)^{1/2} \frac{l}{R} \left[ \frac{l(T)}{n_0} \left( \frac{\Delta n}{\Delta z} \right)_{\max} \right]^{-1/2} \quad (35)$$

$$T = Mc^2 \left( \frac{n_e E}{n_0 M c^2 M c_v} \right)^{2/3} \left( \frac{R}{\ell} \right)^{2/3} \left[ \frac{\ell(T)}{n_0} \left( \frac{\partial n}{\partial z} \right)_{max} \right]^{1/3} \quad (36)$$

На границе своей применимости (при  $R \sim \ell$ ) эти формулы, как и следовало ожидать, дают значения скорости и температуры, соответствующие случаю неограниченного пучка.

#### 4. Волна релаксации (количественная модель)

Попытка построить последовательное количественное описание волны релаксации наталкивается на существенную трудность - для этого потребовалось бы прежде всего знать детальный вид функции  $Q$ . Поэтому представляется разумным смоделировать мощность энерговыделения  $Q$  в соответствии с теми "грубыми" чертами процесса релаксации пучка, которые нам известны, и далее исследовать такую модель количественно. Мы рассмотрим здесь только один случай - слабую волну релаксации. Не составляет, впрочем, труда осуществить аналогичную процедуру и применительно к сильной волне.

Зададим для определенности конкретный вид радиального распределения концентрации пучка на входе в плазму:

$$n_b(r) = \begin{cases} n_b^* \cos^2 \frac{\pi r}{2R} & r < R \\ 0 & r > R \end{cases}$$

Для сокращения записи при решении системы (22) - (24) удобно пользоваться безразмерными величинами, которые вводятся следующим образом:

$$\vec{r} \rightarrow \ell(T_0) \vec{r}$$

$$t \rightarrow \frac{\ell(T_0)}{2c} \left( \frac{n_b}{n_0 M c_v} \right)^{1/3} \left( \frac{M c^2}{E} \right)^{1/3} \left[ \frac{\ell(T_0)}{n_0} \left( \frac{\partial n}{\partial z} \right)_{max} \right]^{1/3} t$$

$$\vec{v} \rightarrow 2c \left( \frac{n_b}{n_0 M c_v} \right)^{1/3} \left( \frac{E}{M c^2} \right)^{1/3} \left[ \frac{\ell(T_0)}{n_0} \left( \frac{\partial n}{\partial z} \right)_{max} \right]^{2/3} \vec{v}$$

$$T - T_0 \rightarrow 4E \left( \frac{n_b}{n_0 M c_v} \right)^{2/3} \left( \frac{M c^2}{E} \right)^{1/3} \left[ \frac{\ell(T_0)}{n_0} \left( \frac{\partial n}{\partial z} \right)_{max} \right]^{1/3} T$$

$$Q \rightarrow 8 \frac{n_b E c}{\ell(T_0)} Q$$

На границе своего применения волна релаксации имеет вид

$$\frac{n - n_0}{n} \rightarrow \left[ \frac{\ell(T_0)}{n_0} \left( \frac{\partial n}{\partial z} \right)_{max} \right] n$$

$$x \rightarrow 2\ell(T_0)n_b c \left( \frac{n_b}{n_0 M c_v} \right)^{-2/3} \left( \frac{E}{M c^2} \right)^{1/3} \left[ \frac{\ell(T_0)}{n_0} \left( \frac{\partial n}{\partial z} \right)_{max} \right]^{-1/3} x$$

Новые переменные  $\vec{r}, t, \vec{v}, Q, T, n, x$ , стоящие справа, выбраны исходя из качественного описания так, чтобы при распространении волны все её основные параметры (ширина фронта, скорость распространения, возмущения концентрации и температуры) были порядка единицы. В новых обозначениях линеаризованная система уравнений (22) - (24) принимает вид:

$$\frac{\partial \vec{v}}{\partial t} = -\vec{\nabla} T \quad (37)$$

$$\frac{\partial n}{\partial t} + \operatorname{div} \vec{v} = 0 \quad (38)$$

$$\frac{\partial T}{\partial t} = \chi \Delta T + Q \quad (38)$$

Зададим теперь мощность тепловыделения  $Q(\vec{r}, t)$

$$Q(r, z, t) = \frac{1}{3} \cos^2 \frac{\pi r}{2R} \sum_{i=1,2,\dots} \sin^2 \frac{\pi}{2} \frac{z - z_i}{z_{i+1} - z_i} \chi \quad (40)$$

$$\times \Theta(z - z_i) \Theta(z_{i+1} - z) \Theta(1 - |\frac{\partial n}{\partial z}|) \Theta[1 - \int_0^z \Theta(1 - |\frac{\partial n}{\partial z'}|) dz']$$

где

$$\Theta(x) = \begin{cases} 1, & x > 0 \\ 0, & x < 0 \end{cases}$$

а  $z_i(r, t)$  — занумерованные в порядке возрастания корни уравнения:

$$z(1 - |\frac{\partial n}{\partial z}|)(1 - \int_0^z \Theta(1 - |\frac{\partial n}{\partial z'}|) dz') = 0$$

Все кратные корни имеют один и тот же индекс "i".

Нетрудно убедиться, что определенная соотношением (40) функция  $Q$  правильно отражает характерные особенности тепловыделения в неоднородной плазме. Так, например, в тех точках, где  $|\frac{\partial n}{\partial z}| > 1$ , тепловыделение отсутствует. Это соответствует наличию критического значения градиента концентрации плазмы, при котором происходит срыв релаксации пучка. То обстоятельство, что  $Q = 0$ , если  $\int_0^z \Theta(1 - |\frac{\partial n}{\partial z'}|) dz' > 1$

, также имеет простой смысл: оно означает, что нагрев наиболее интенсивен вблизи границы плазмы (разумеется, только в том случае, когда плазма в этой области достаточно одно-

родна). Наконец, множитель  $\cos^2 \frac{\pi r}{2R}$ , где  $R$  — безразмерный радиус пучка, учитывает радиальную неоднородность тепловыделения.

Дополним далее систему (37)–(39) граничными и начальными условиями. Мы будем считать, что равен нулю поток тепла через границу плазмы, т.е.

$$\frac{\partial T}{\partial z} = 0 \quad \text{при } z = 0$$

Тогда из уравнения (37) видно, что равен нулю также и поток частиц

$$v_z = 0 \quad \text{при } z = 0$$

На границе пучка ( $r = R$ ) поток тепла также предполагается равным нулю

$$\frac{\partial T}{\partial r} \Big|_{r=R} = 0$$

Начальные условия, сформулированные выше, в безразмерных переменных имеют следующий вид:

$$\begin{aligned} n &= 0 & t &= 0 \\ \vec{v} &= 0 & t &= 0 \\ T &= 0 & t &= 0 \end{aligned}$$

Несмотря на то, что полученная система уравнений значительно проще исходной, её удается проинтегрировать только численно.

Вычисления проводились как в случае одномерной модели ( $R \rightarrow \infty$ ), так и с учетом радиальной ограниченности пучка ( $R \sim 1$ ). При этом выбирались различные значения теплопроводности плазмы, заключенные в промежутке:  $0 < \chi < 1$ .

Результаты вычислений иллюстрируются рисунками 2–6. Обратившись к ним, можно четко выявить следующие закономерности.

При малой теплопроводности плазмы ( $\chi = 1/10$ ,  $\chi = 1/3$ ) под воздействием пучка возникает волна релаксации с крутым фронтом температуры<sup>x)</sup>. За фронтом температура медленно изменяется (в пространстве и во времени) из-за небольшого выделения тепла вблизи экстремумов профиля концентрации.

Распределение концентрации за фронтом носит осциллирующий характер, причем пространственный масштаб осцилляций со временем уменьшается.

Скорость распространения волны по порядку величины равна единице. С увеличением теплопроводности фронт температуры все более и более "размазывается", а скорость волны падает. Наконец, при  $\chi = 1$  (см.рис.4) теплопроводность фактически срывает распространение волны.

Все эти выводы находятся в полном согласии с результатами качественного рассмотрения.

### Л и т е р а т у р а

1. Я.Б.Файнберг, В.Д.Шапиро, В.И.Шевченко. ЖЭТФ, 57, 966 (1969).
2. Б.Н.Брейзман, Д.Д.Рютов. Письма в ЖЭТФ, 11, 606 (1970).
3. Л.И.Рудаков. ЖЭТФ, 59, 2091 (1970).
4. Б.Н.Брейзман, Д.Д.Рютов. ЖЭТФ, 60, 408 (1971).
5. А.Т.Алтынцев, Б.Н.Брейзман, А.Г.Еськов, О.А.Золотовский, В.И.Коротеев, Р.Х.Куртмуллаев, В.Л.Масалов, Д.Д.Рютов, В.Н.Семенов. Доклад СН-28/E-20 на 1У Международной конференции по физике плазмы. Мэдисон, США (1971).
6. В.Н.Цытович, В.Д.Шапиро. Nucl. Fusion, 5, 228 (1965).
7. В.Н.Цытович. Нелинейные эффекты в плазме, изд-во "Наука", М., (1967).
8. А.А.Веденов, Л.И.Рудаков. ДАН СССР, 159, 767 (1964).
9. В.Н.Цытович. ЖЭТФ, 57, 141 (1969).
10. В.Е.Захаров. Доклад на конференции по теории плазмы. Киев, 1971. ЖЭТФ, в печати.
11. F. Winterberg. Phys. Rev., 174, 212 (1968).

<sup>x)</sup> В том, что при малой теплопроводности плазмы нагрев обязательно приводит к появлению критического градиента плотности  $(|\frac{m}{n}| = 1)$ , легко убедиться, положив  $\chi = 0$ .

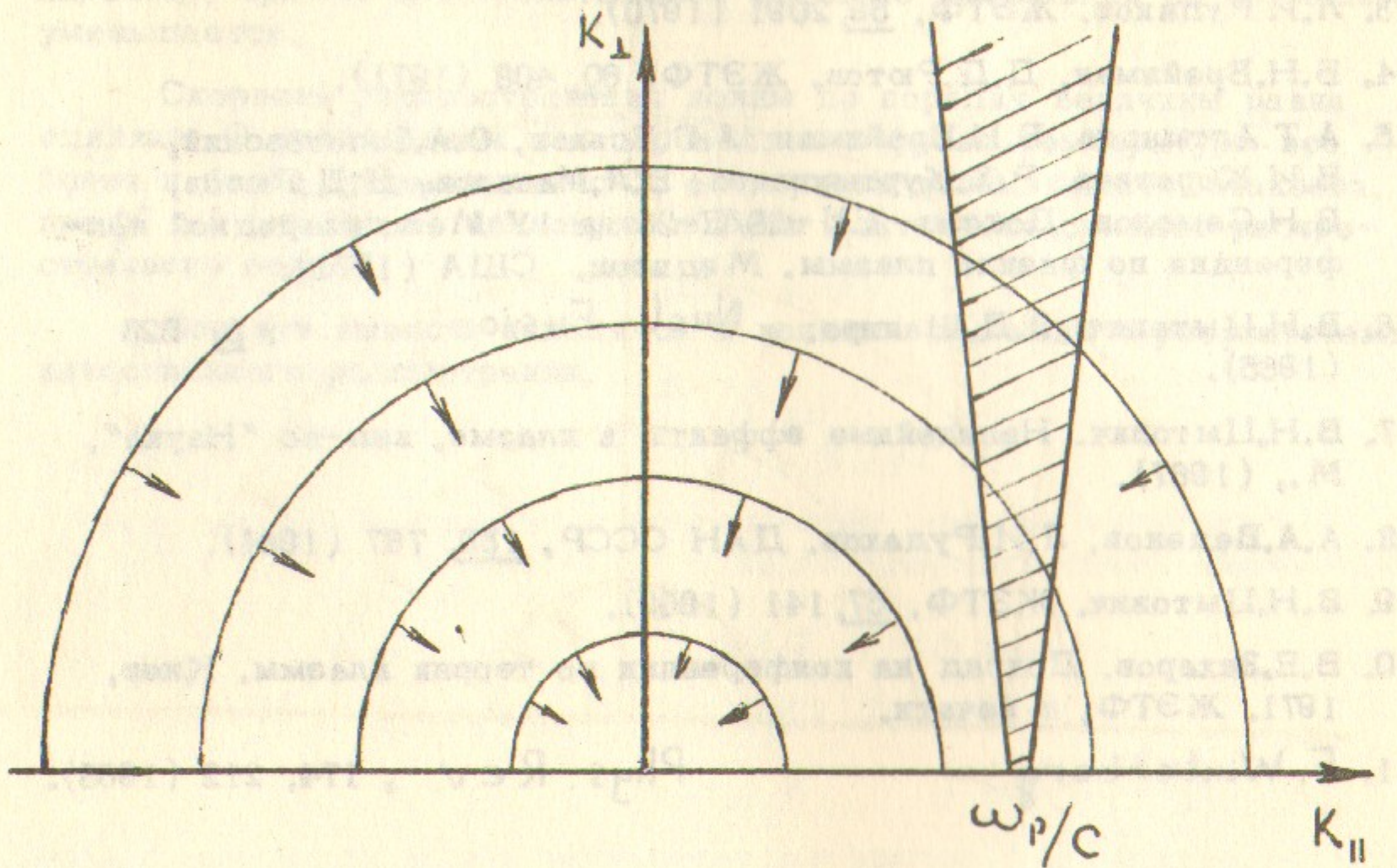


Рис.1. К теории релаксации ультратрелиativистского пучка в плазме. Область волновых векторов, в которой имеется взаимодействие колебаний с пучком, заштрихована. Концентрические окружности изображают линии, вдоль которых происходит изотропизация спектра колебаний. Стрелками указано направление спектральной перекачки.

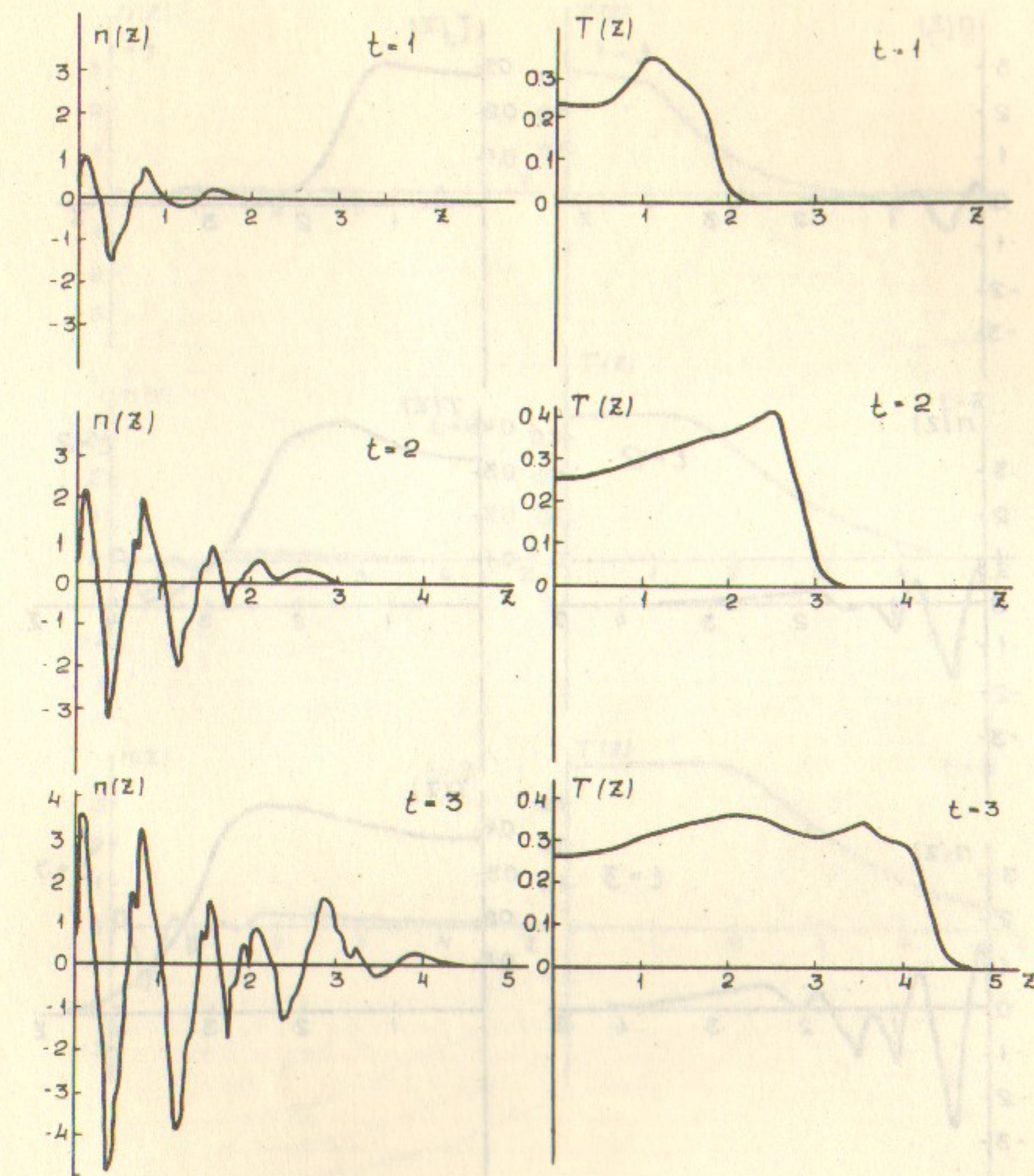


Рис.2. Профили температуры и концентрации плазмы в одномерной волне релаксации. Использованы безразмерные переменные, введенные в разделе 4,  $\chi = 1/10$ .

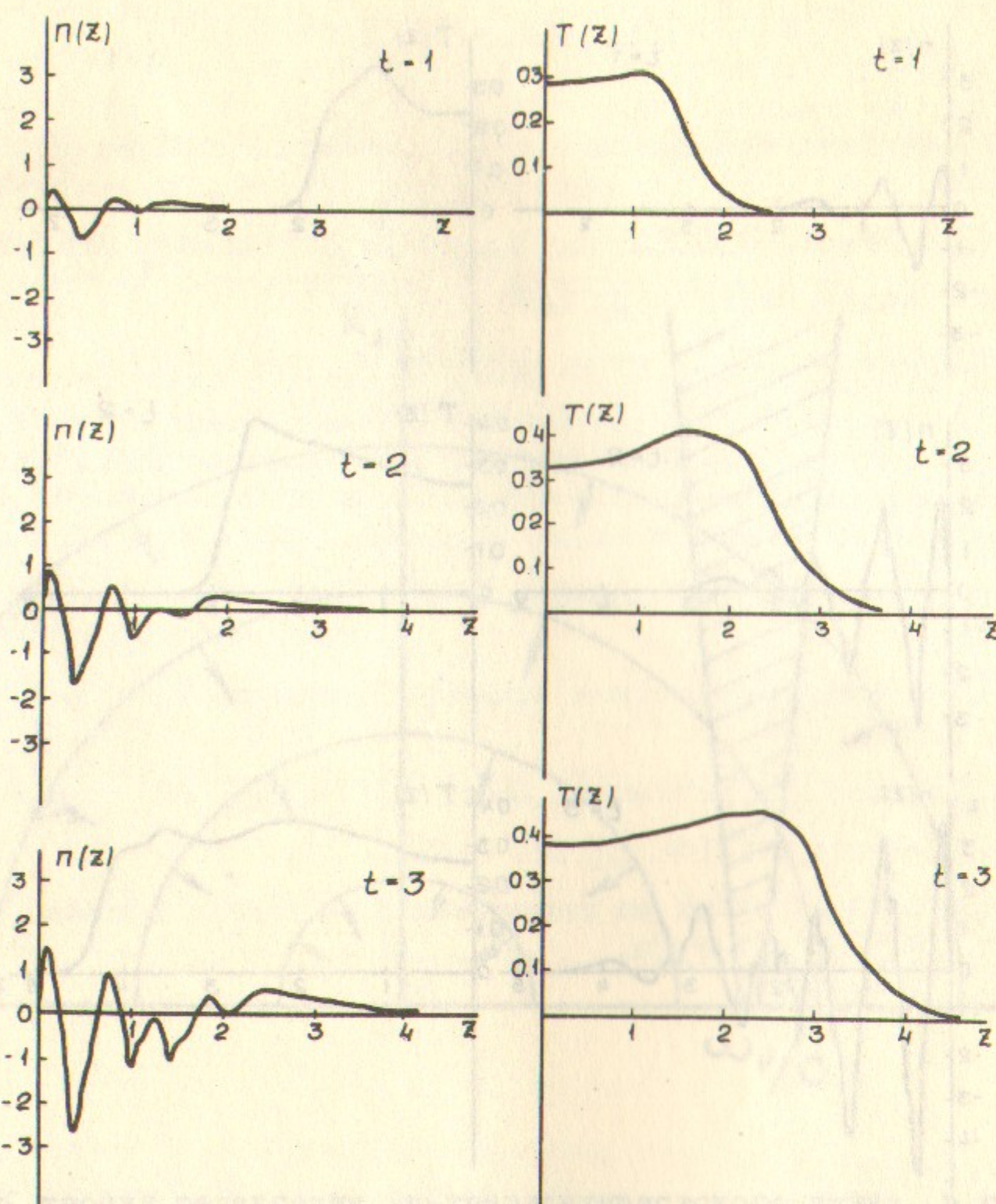


Рис.3. Профили температуры и концентрации плазмы в одномерной волне релаксации  $\chi = 1/3$ .

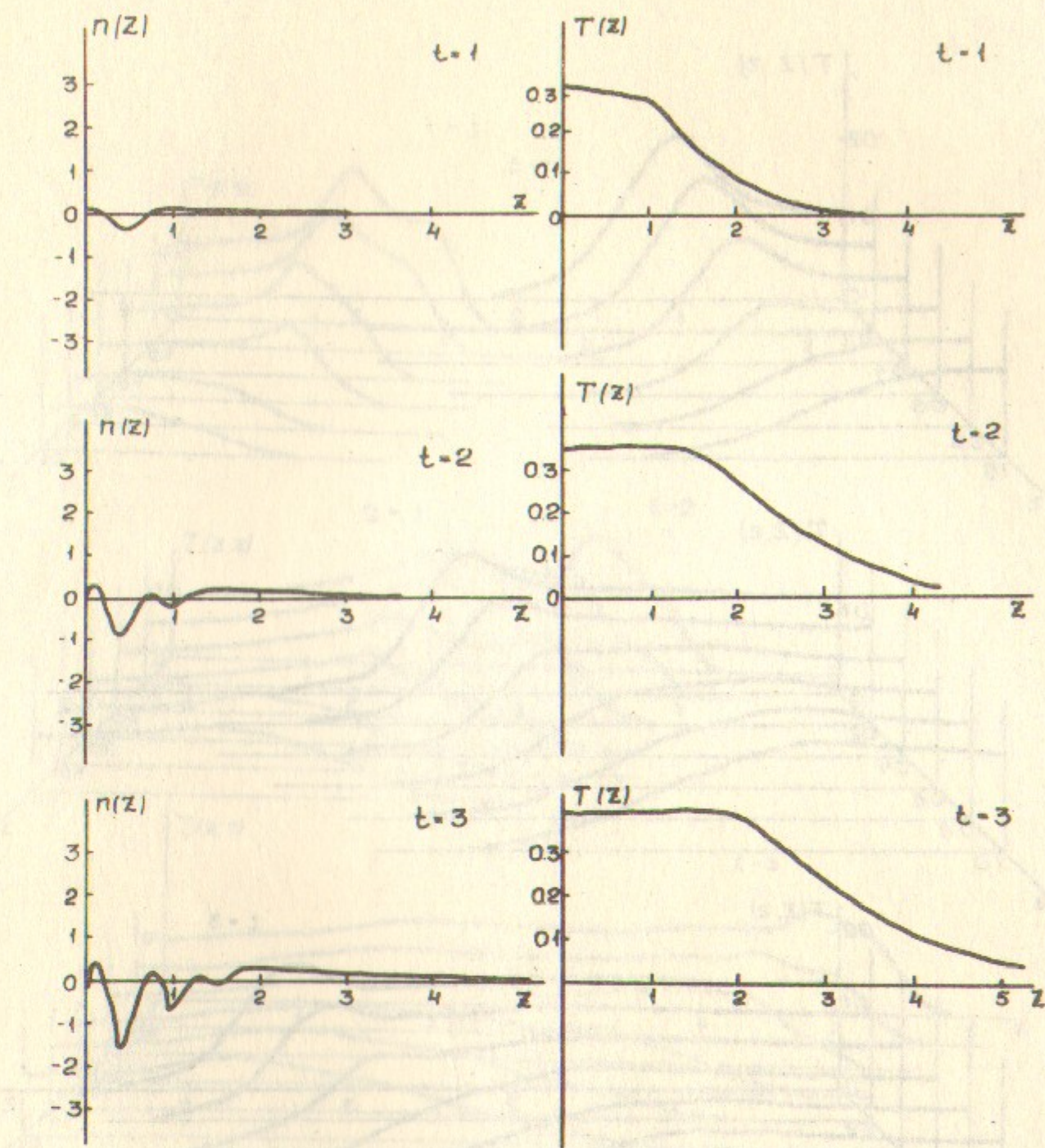


Рис.4. Профили температуры и концентрации плазмы в одномерной волне релаксации  $\chi = 1$ .

ме. Область положительных значений концентрации плазмы в результате конвекции и турбулентности имеет вид сплошной низкой концентрации и мотивирована неодинаковыми

запасами тепла в различных участках.

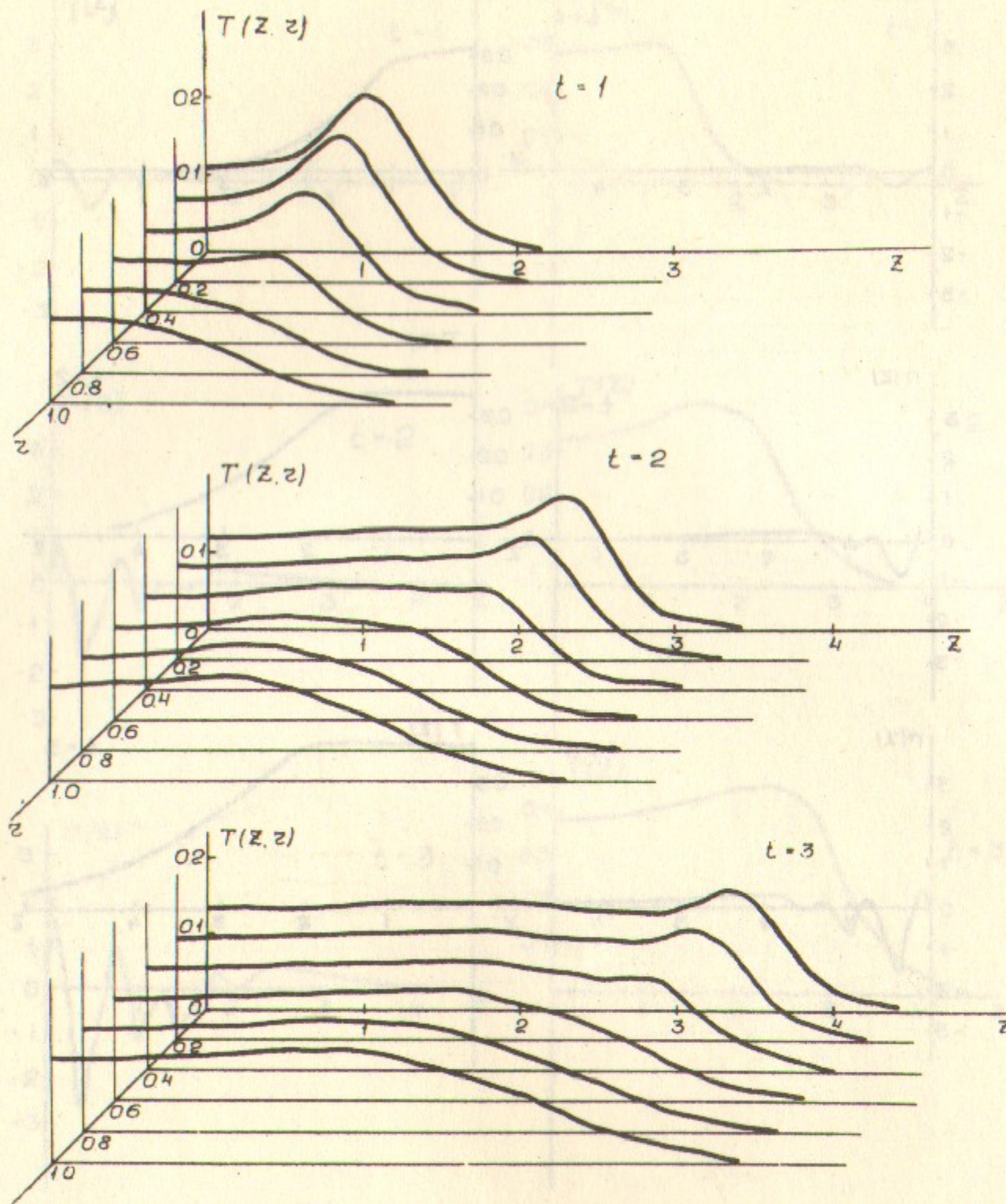


Рис.5. Распределение температуры плазмы в волне релаксации.  
Радиус пучка  $R$  выбран равным единице,  $\chi = 1/3$ .

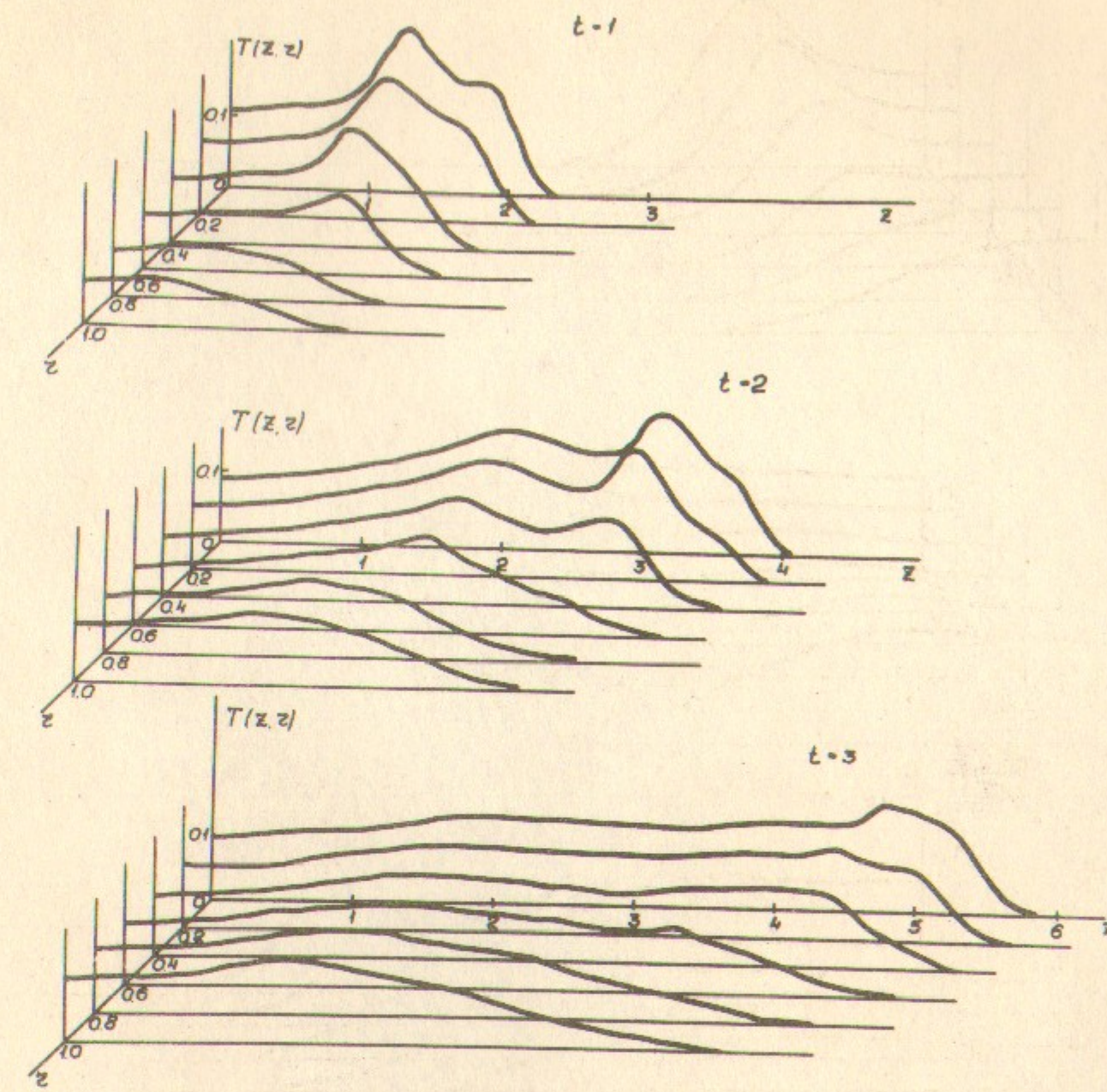


Рис.6. Распределение температуры плазмы в волне релаксации  $R = 1$ ,  $\chi = 1/10$ .

